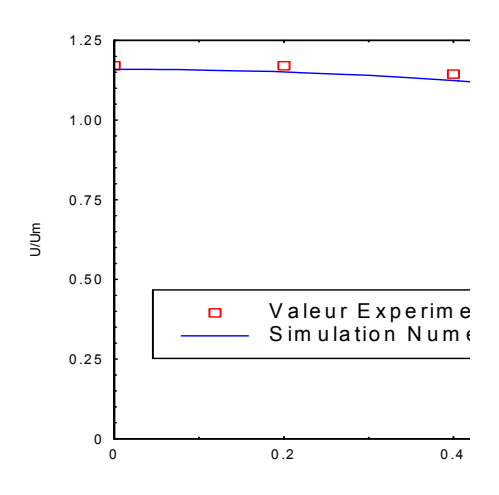
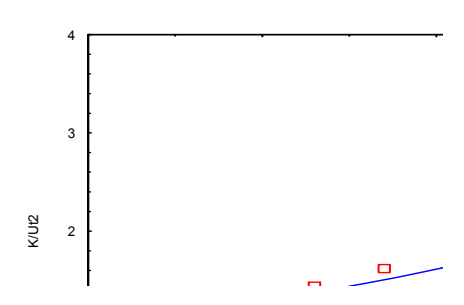


Figure 5.1 – Test de l'indépendance de la solution de la grille numérique ; Profile de la vitesse axiale obtenu par simulations à Z/D=22 - Cas du développement naturel de l'écoulement dans une conduite lisse.



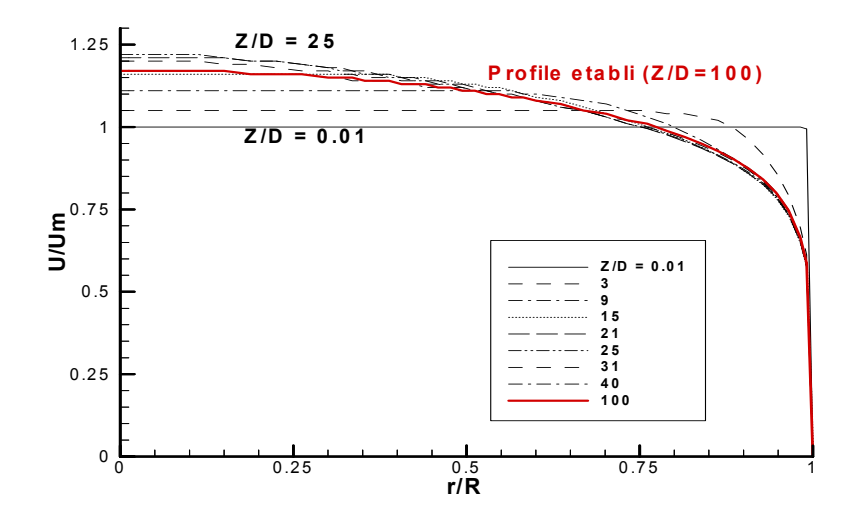
### a) Profile de la vitesse U/Um



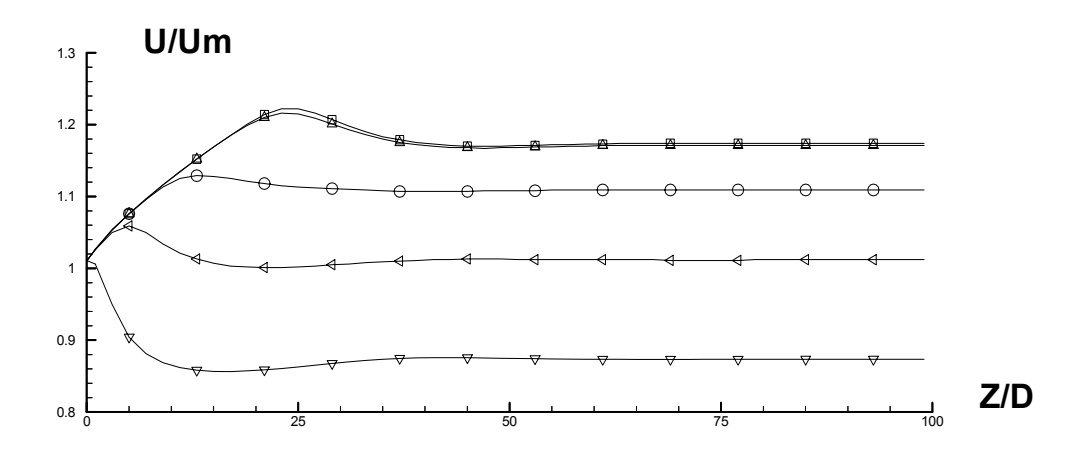
b) Profile de l'énergie de la turbulence  $K/u_{\tau}^{2}$ 

c) Profile de la contrainte de Reynolds du cisaillement –uv/  ${u_{\tau}}^2$ 

Figure 5.2 – Comparaison du profiles de la vitesse axiale, l'énergie de la turbulence et de la contrainte de Reynolds obtenus par simulations numériques et les mesures expérimentales faites par Lawn (1971) à la condition de l'écoulement établi (Z/D=100)



## (a) Distribution radial du profile de la vitesses axiale U/Um



## (b) Distribution axial du profile de la vitesses axiale U/Um

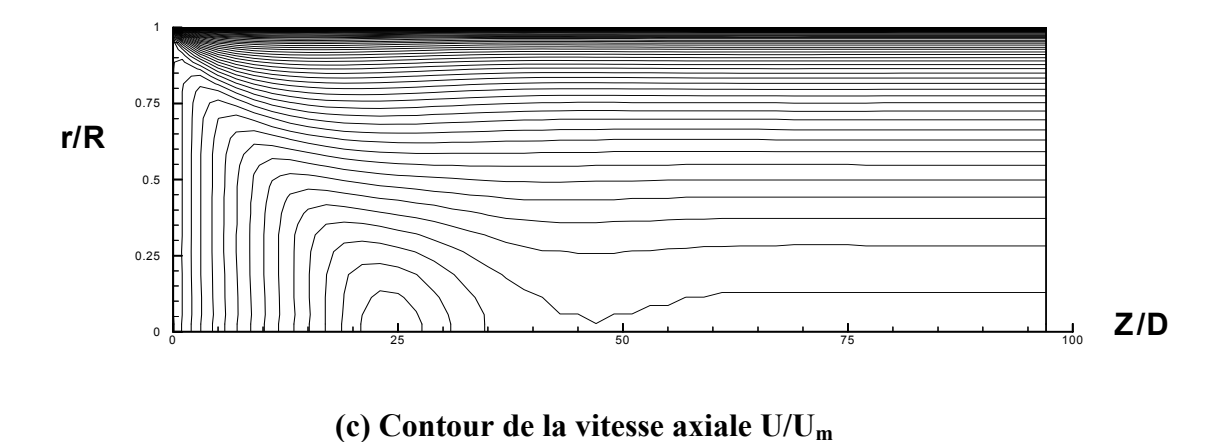
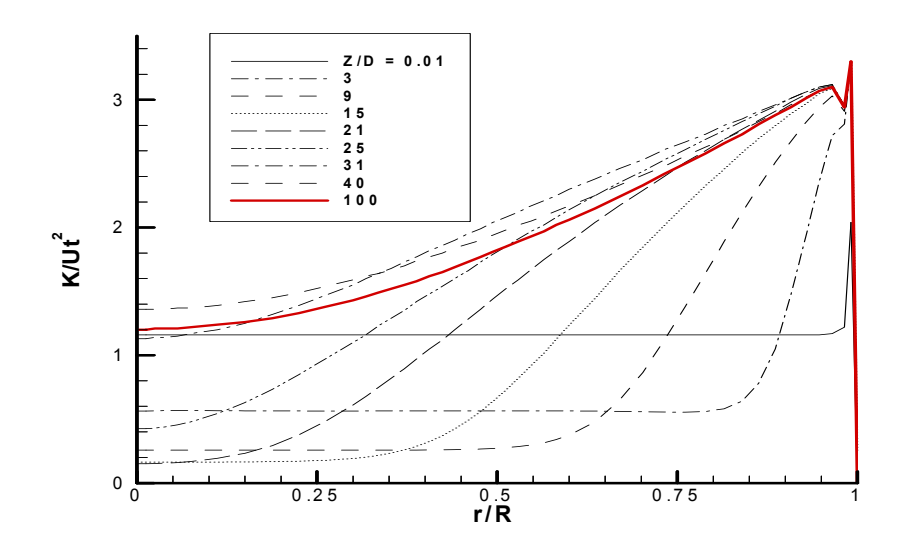
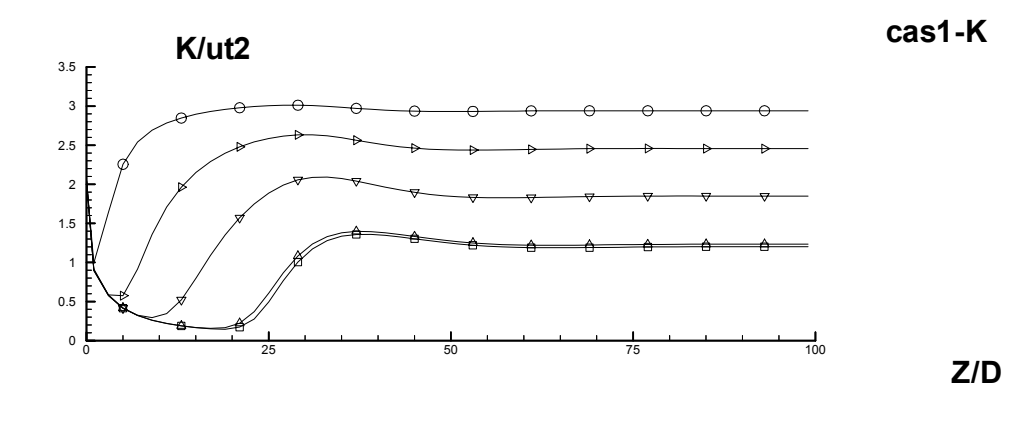


Figure 5.3 – Développement du champs de l'écoulement moyen (vitesse axiale  $U/U_m$ ) Cas du profile initial uniforme



## (a) Développement radial



# (b) Développement axial

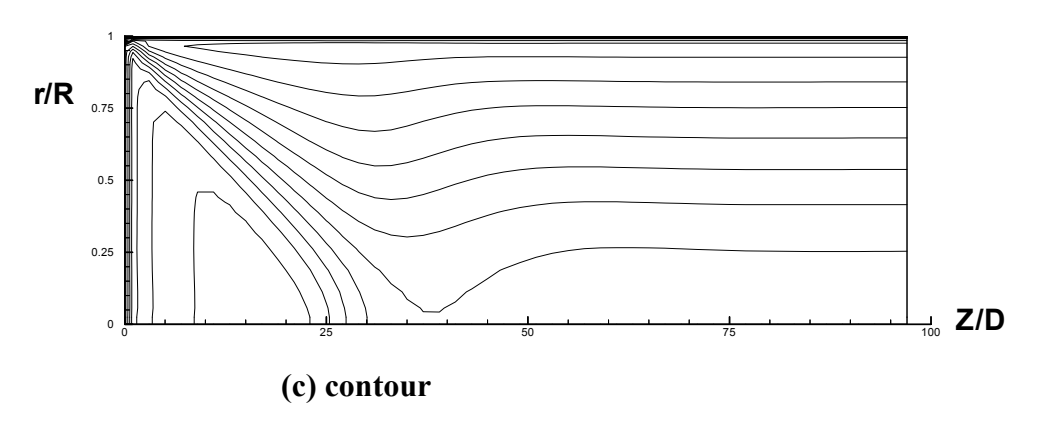
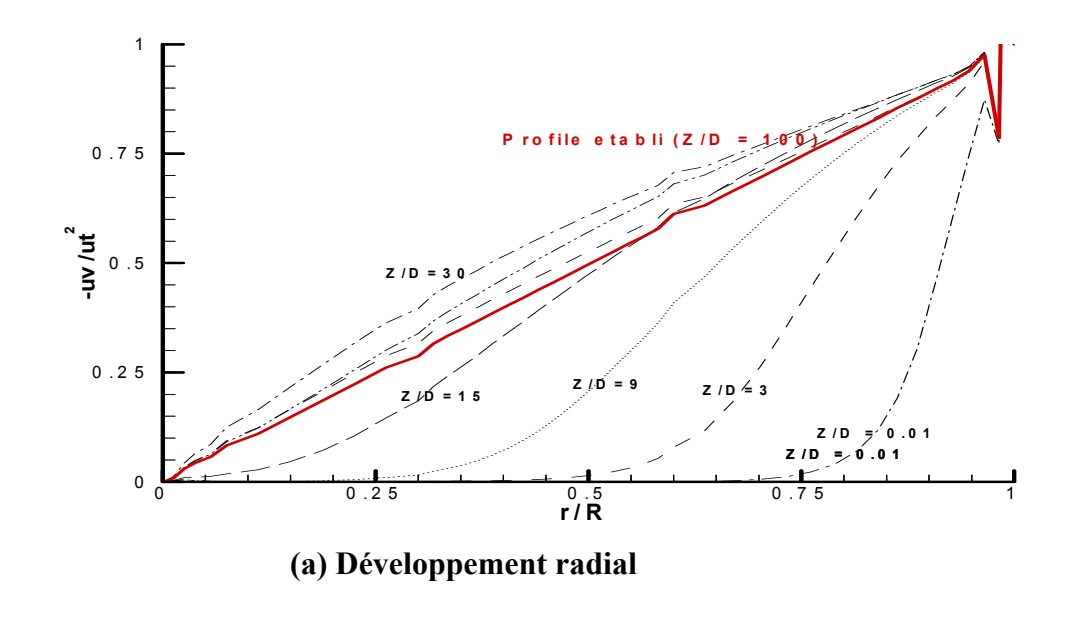


Figure 5.4 – Développement du profile de l'énergie cinétique  $K/{u_\tau}^2$  Cas du profile uniforme



-uv/ut2

0.75

0.5

0.25

0.25

(b) Développement axiale

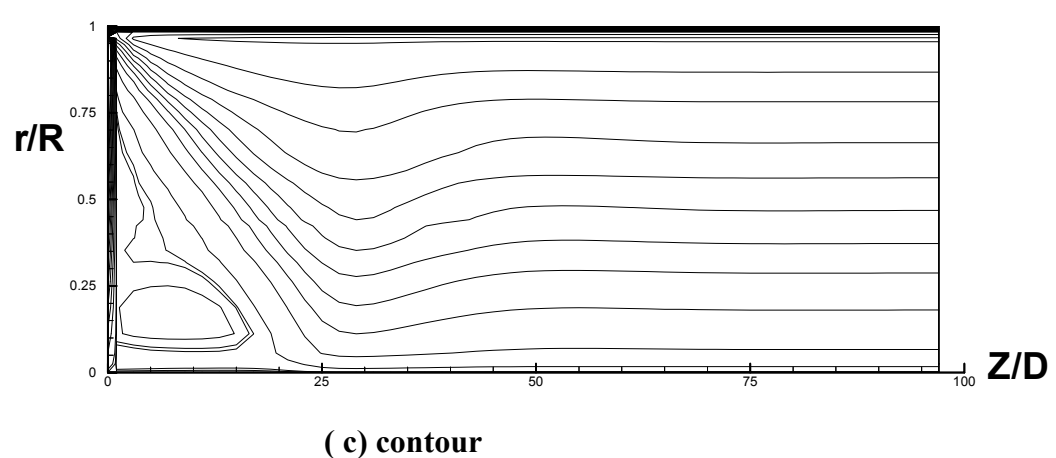


Figure 5.5 – Développement du profile de la contrainte de Reynolds -uv/ $u_{\tau}^2$  Cas du profile uniforme

#### Source de perturbation

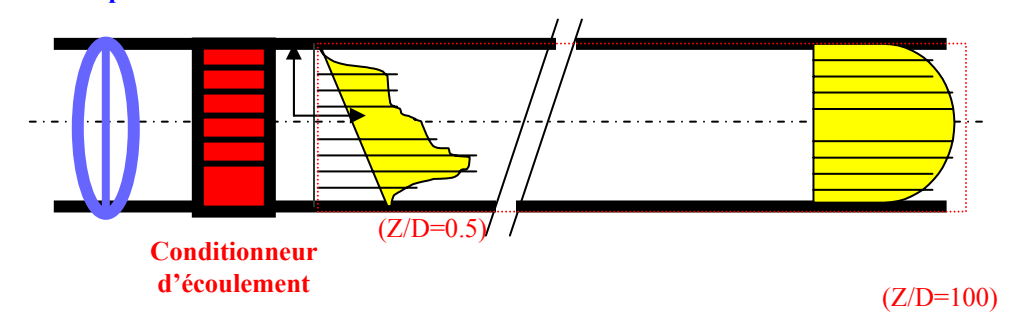
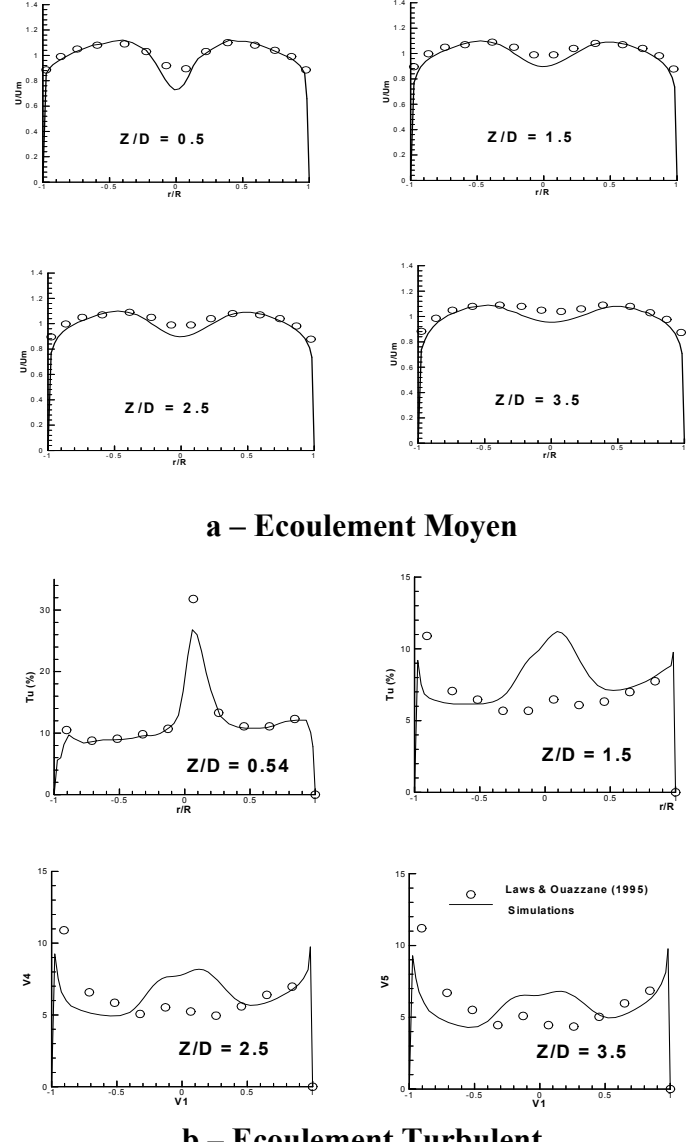


Figure 5.6 - Schématisation du domaine de calcul de l'écoulement après les conditionneurs d'écoulement

(Conditions initiales spécifiées à partir des mesures expérimentales à Z/D=0.5)



**b** – Ecoulement Turbulent

Figure 5.7 - Comparaison des simulations numériques de l'écoulement après le conditionneur d'écoulement Etoile pour le cas de la vanne ouverte à 100% avec les mesures expérimentales (Laws et Ouazzane 1994)

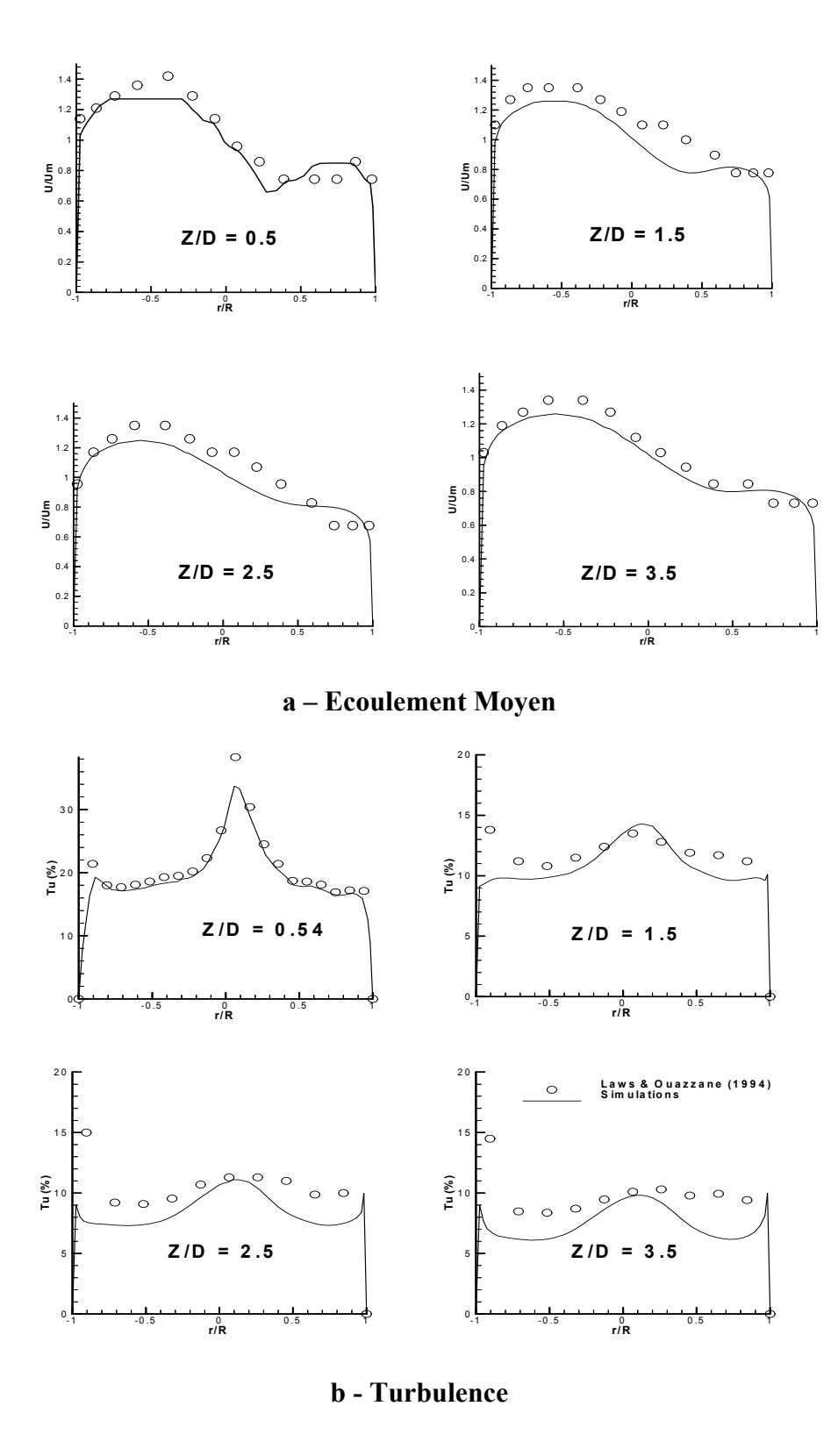
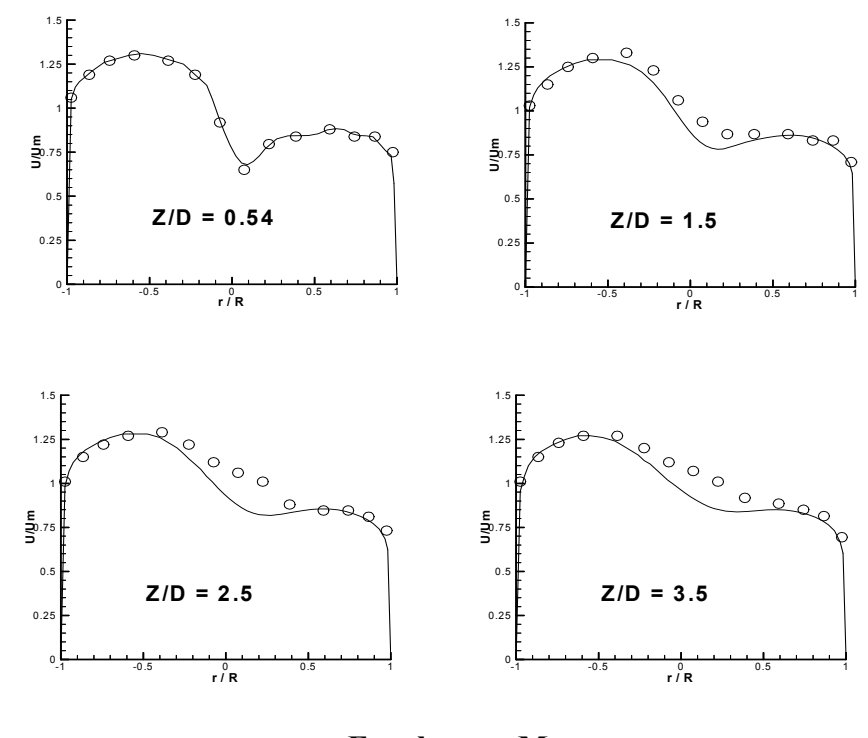
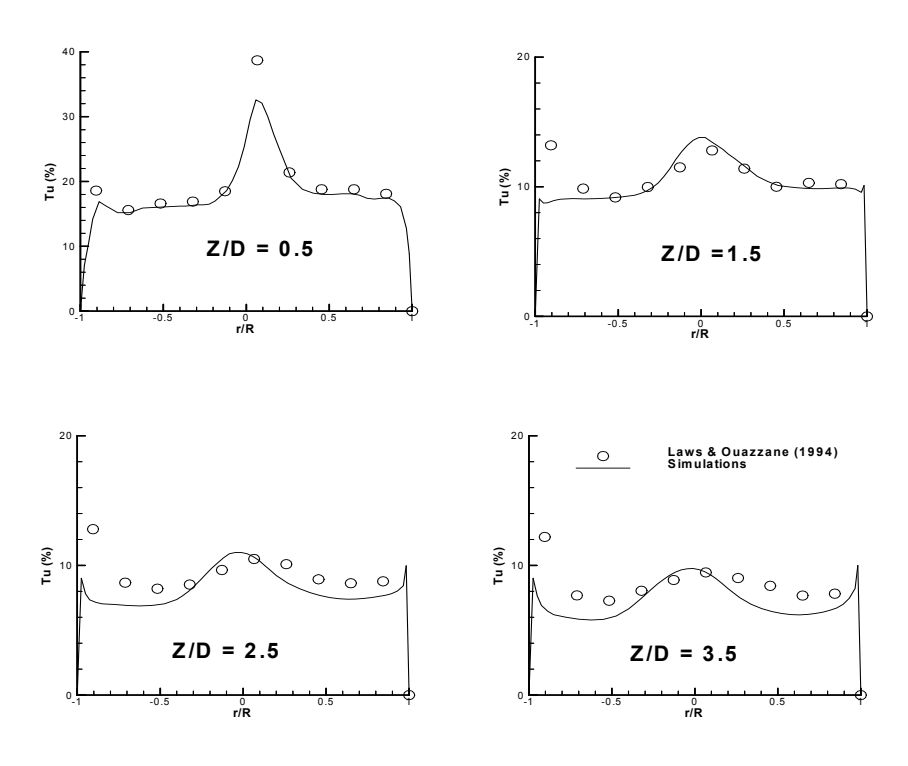


Figure 5.8 - Comparaison des simulations numériques de l'écoulement après le conditionneur d'écoulement Etoile pour le cas de la vanne ouverte à 70% avec les mesures expérimentales (Laws et Ouazzane 1994)

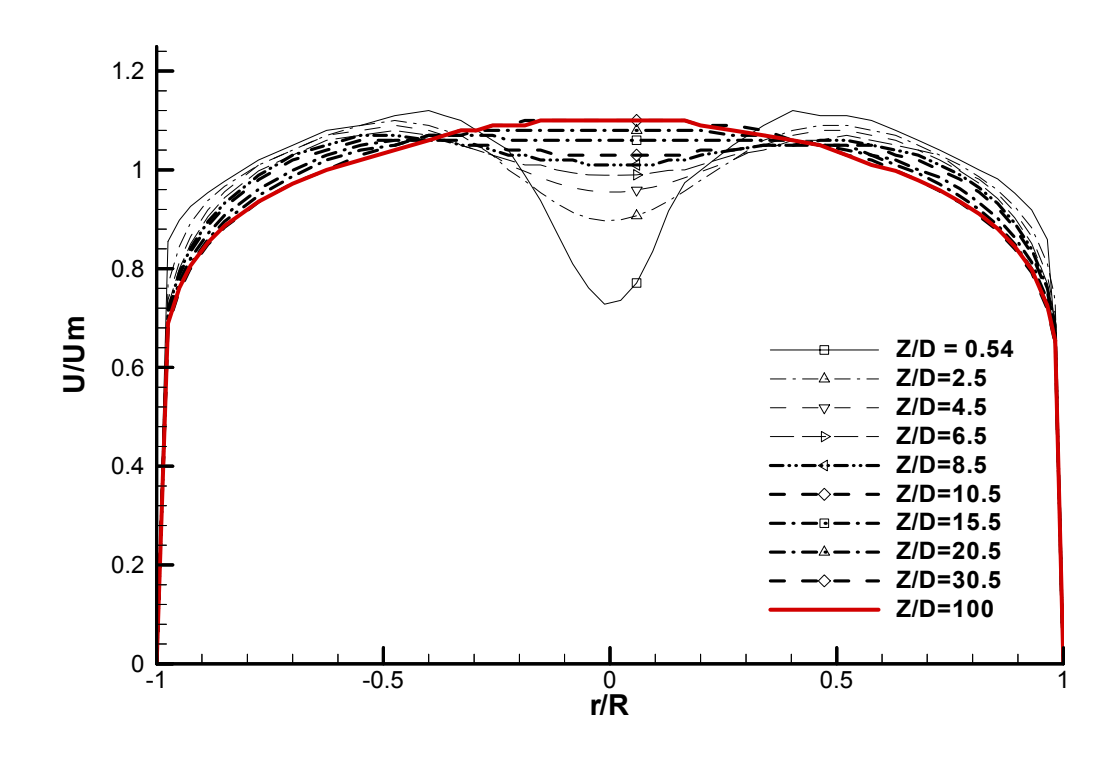


a – Ecoulement Moyen



**b** - Turbulence

Figure 5.9 - Comparaison des simulations numériques de l'écoulement après le conditionneur d'écoulement Etoile pour le cas de la vanne ouverte à 50% avec les mesures expérimentales (Laws et Ouazzane 1994)



a - Profile de la vitesse axiale

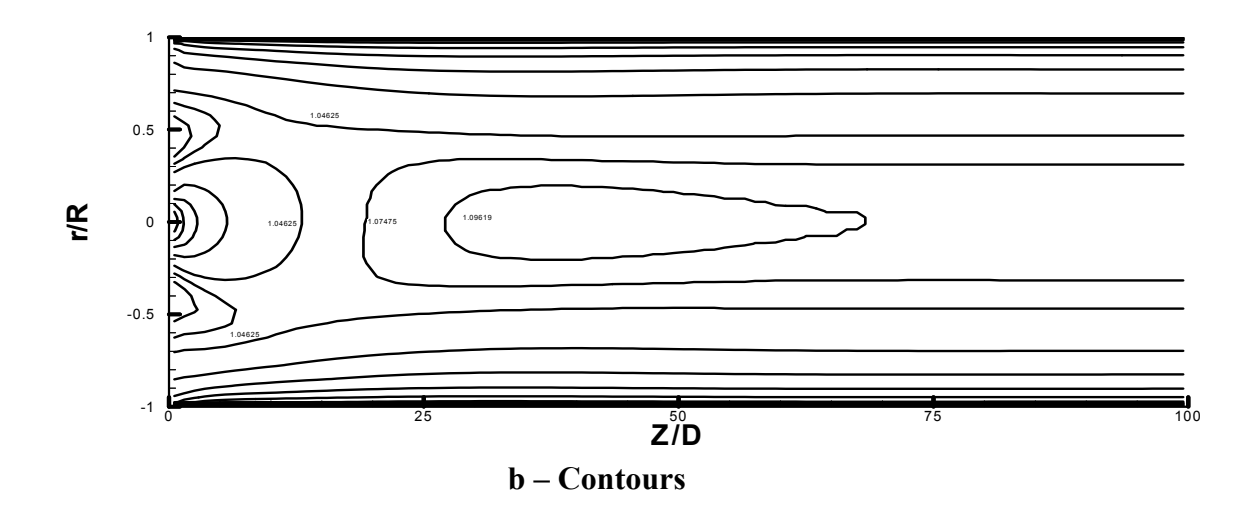
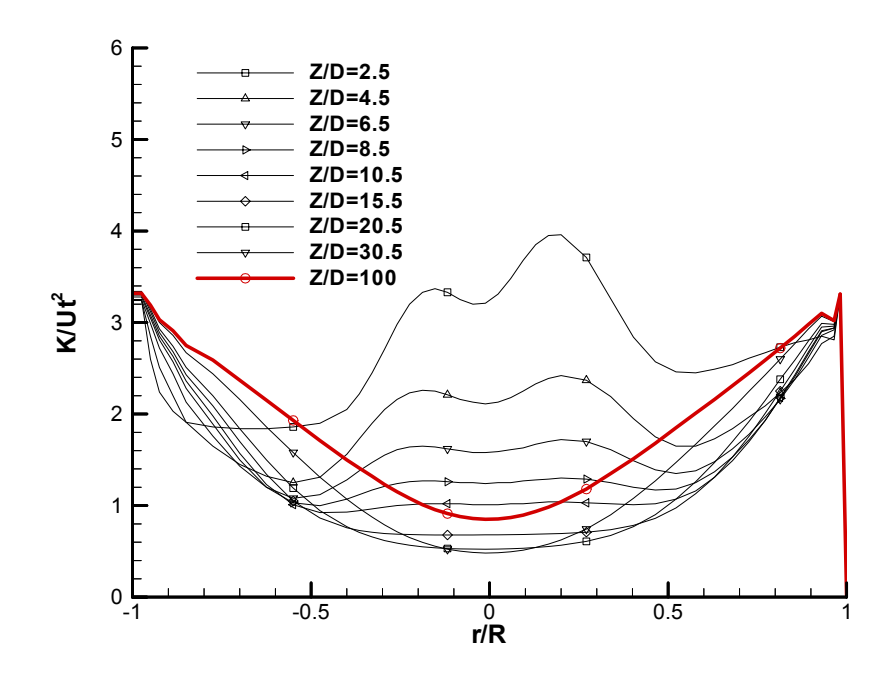


Figure 5.10 - Développement de l'écoulement moyen (Profile et Contours de  $U/U_m)$  après le conditionneur d'écoulement Etoile - Cas de la vanne ouverte à 100%



a - Profile de l'énergie de la turbulence

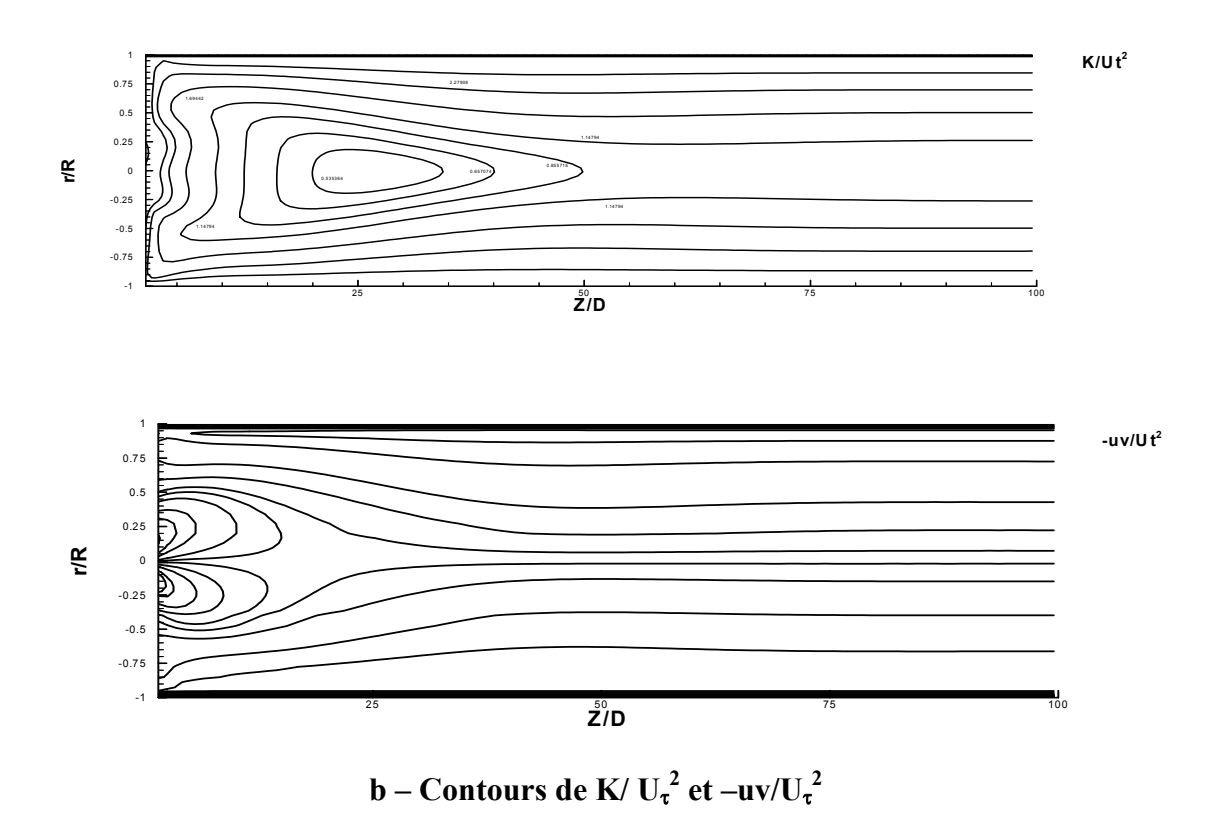
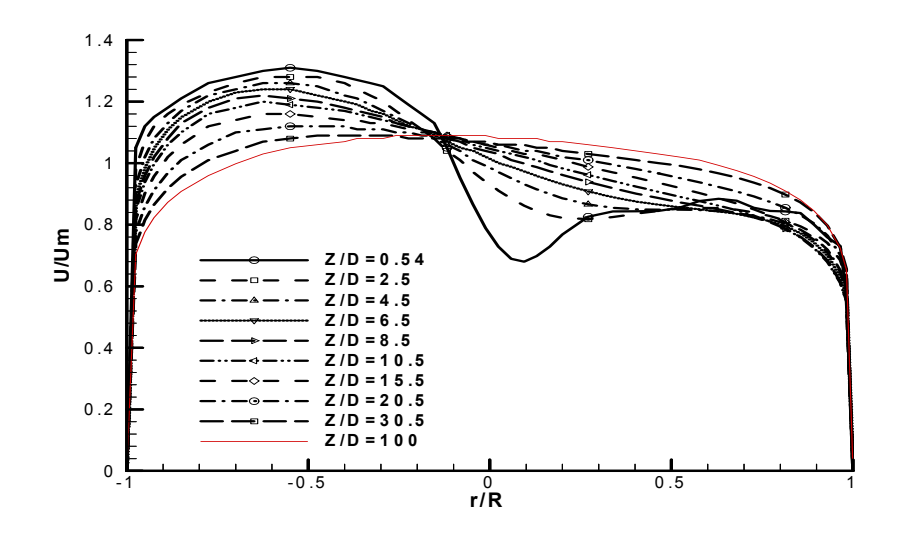
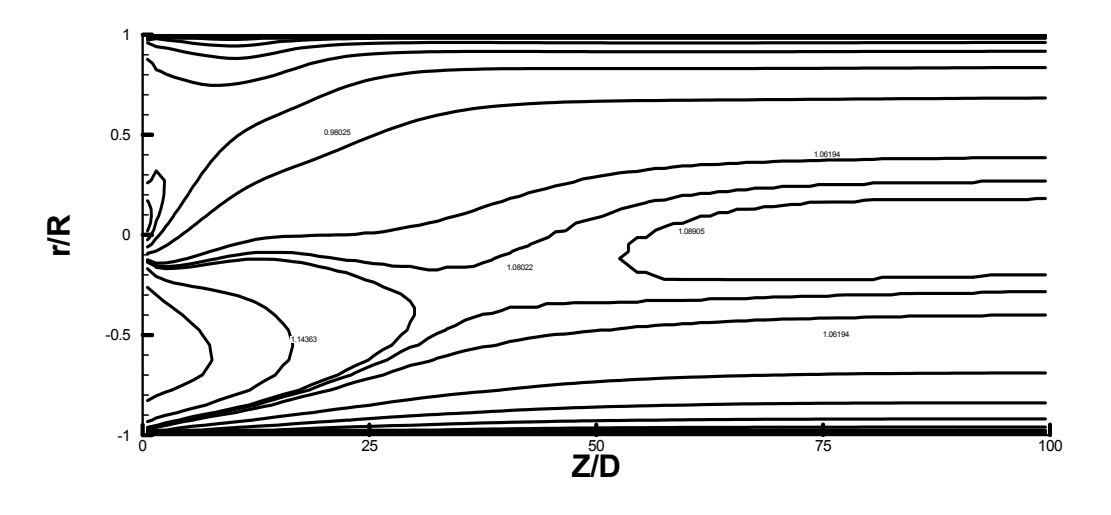


Figure 5.11 - Développement de l'écoulement turbulent (Profile et Contours de K/  ${U_\tau}^2$  et  $-uv/{U_\tau}^2$ ) après le conditionneur d'écoulement Etoile - Cas de la vanne ouverte à 100%

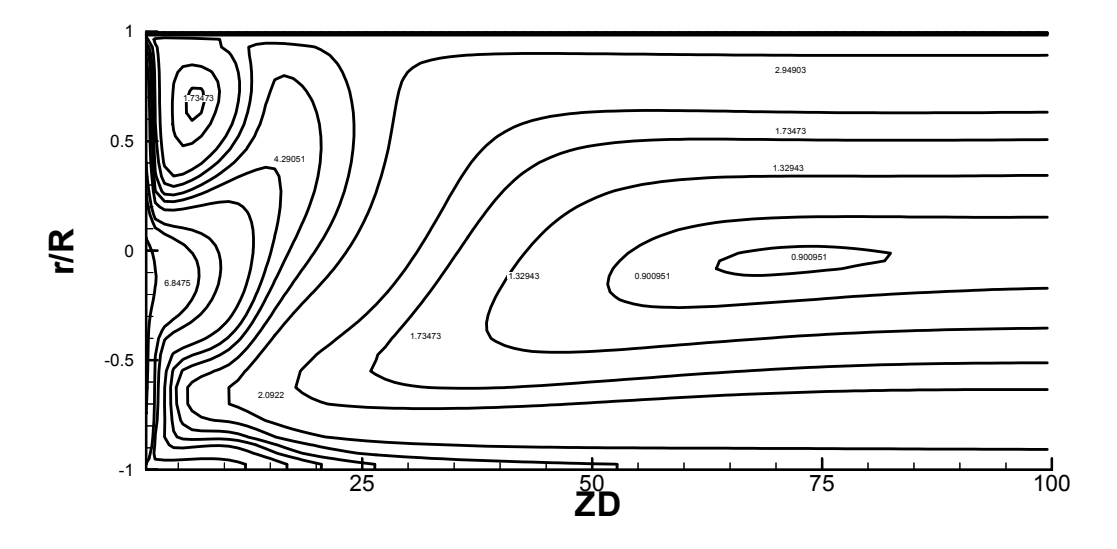


a - Profile de la vitesse  $U/U_{\text{m}}$ 

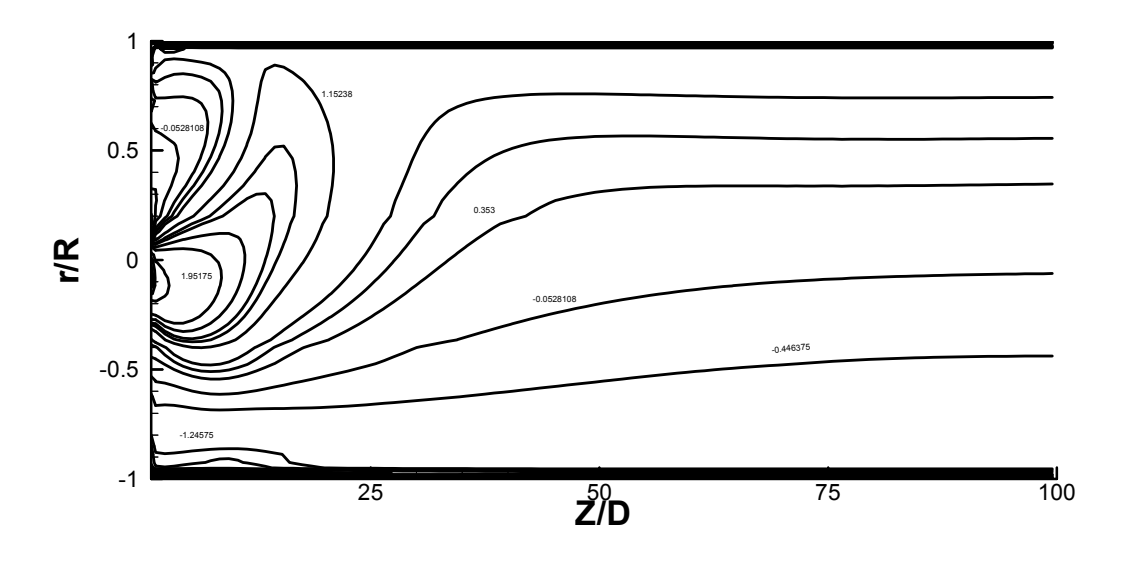


b - Contours de la vitesse U/U<sub>m</sub>

Figure 5.12 - Développement de l'écoulement moyen (Profile et Contours de U/Um) après le conditionneur d'écoulement Etoile - Cas de la vanne ouverte à 50%

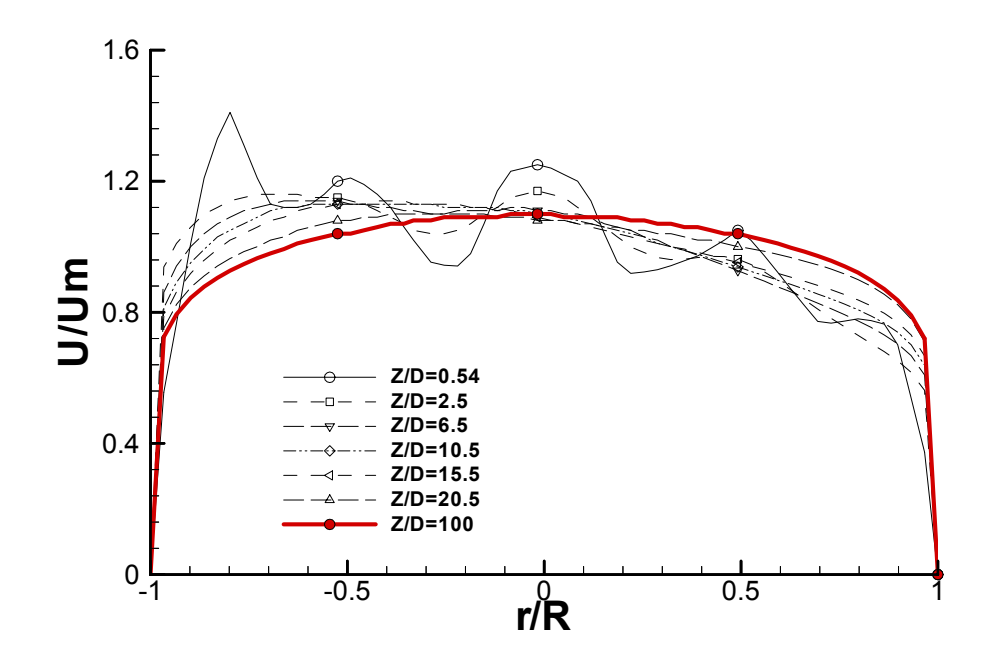


a – Contours de l'énergie de turbulence  $K/U\tau^2$ 

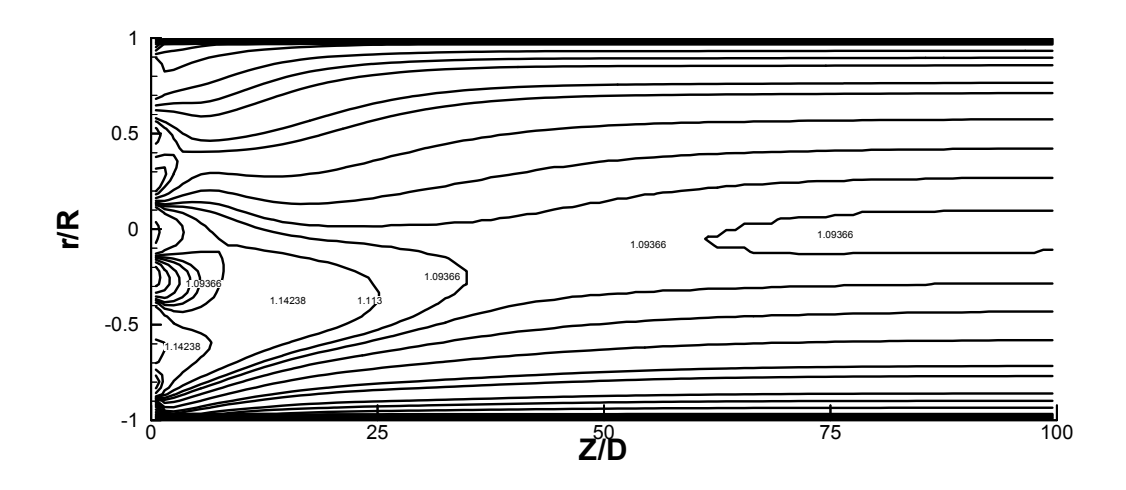


 $b-Contours\ de\ l\ \ contrainte\ de\ Reynolds\ -uv/U\tau^2$ 

Figure 5.13 - Développement de l'écoulement turbulent (Contours de K/U $\tau^2$  et –uv/U $\tau^2$ ) après le conditionneur d'écoulement Etoile - Cas de la vanne ouverte à 50%

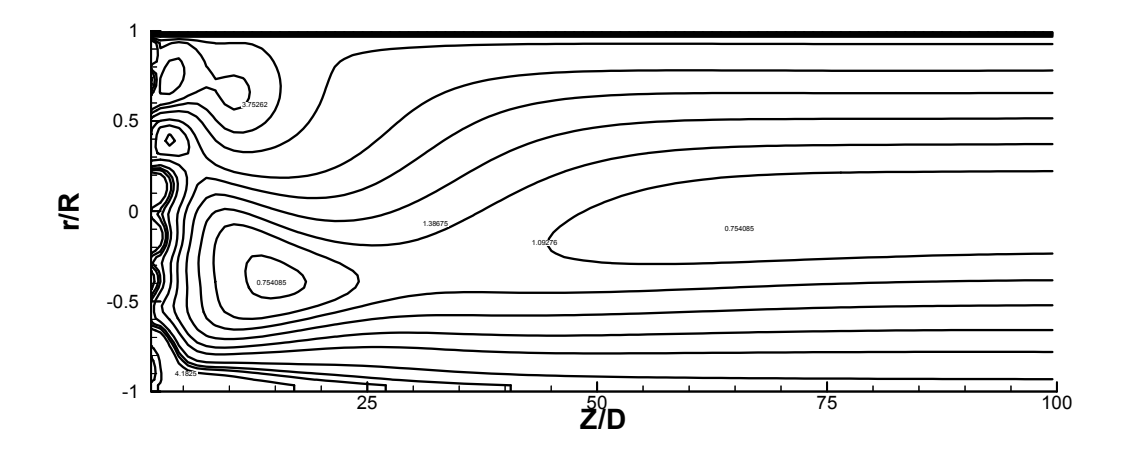


a – Profile de la vitesse  $U/U_{\text{m}}$ 

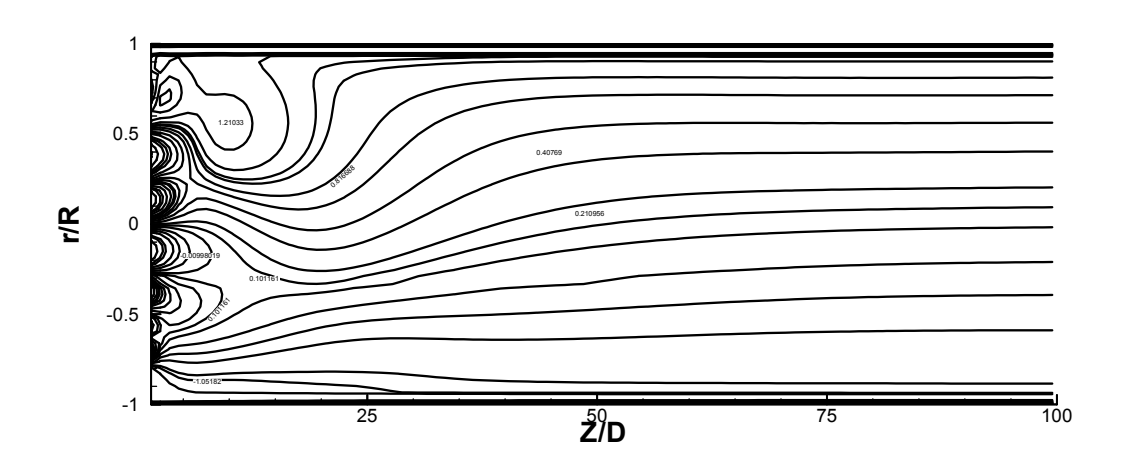


b - Contours de la vitesse U/U<sub>m</sub>

Figure 5.14 – Prévisions du développement du champs moyen de l'écoulement après le conditionneur d'écoulement à faisceaux de tubes

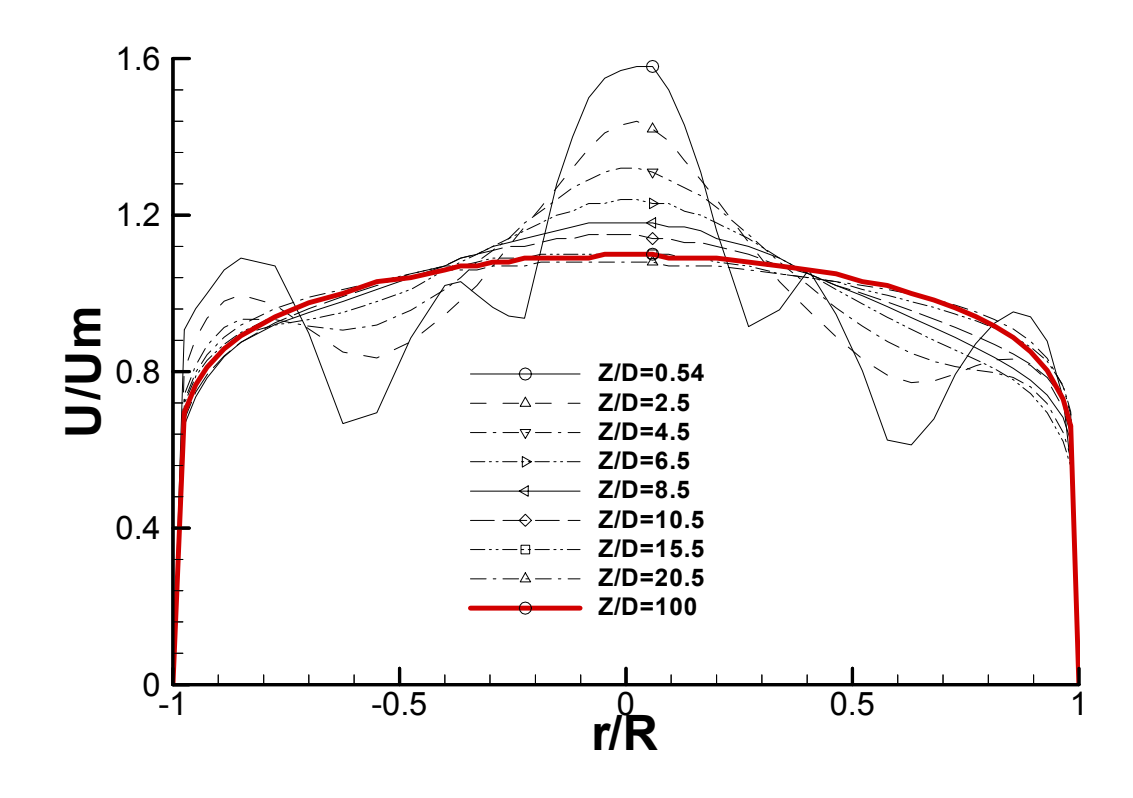


a – Contours de l'énergie de turbulence  $K/{U_{\tau}}^2$ 

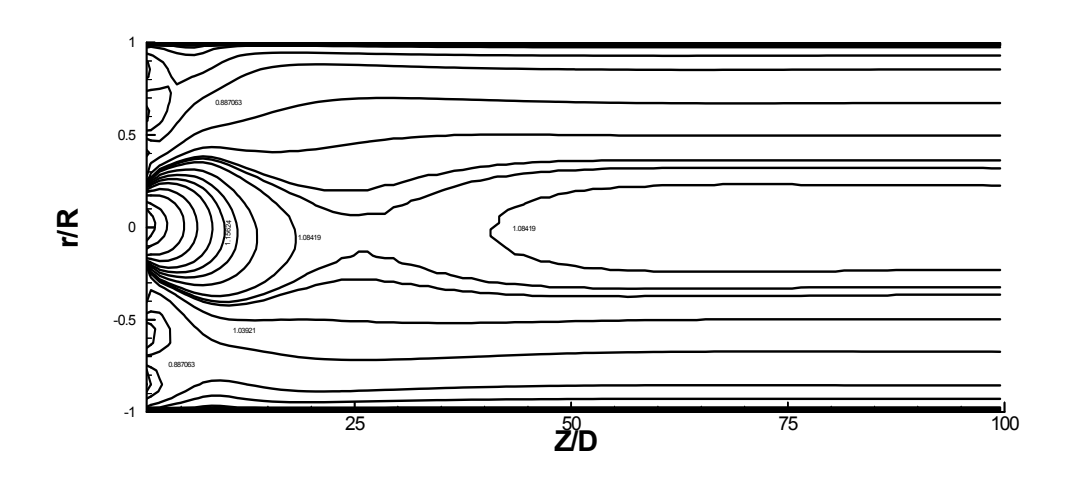


b – Contours de la contrainte de Reynolds -uv/ $U_{\tau}^2$ 

Figure 5.15 – Prévisions du développement du champs turbulent de l'écoulement après le conditionneur d'écoulement à faisceaux de tubes



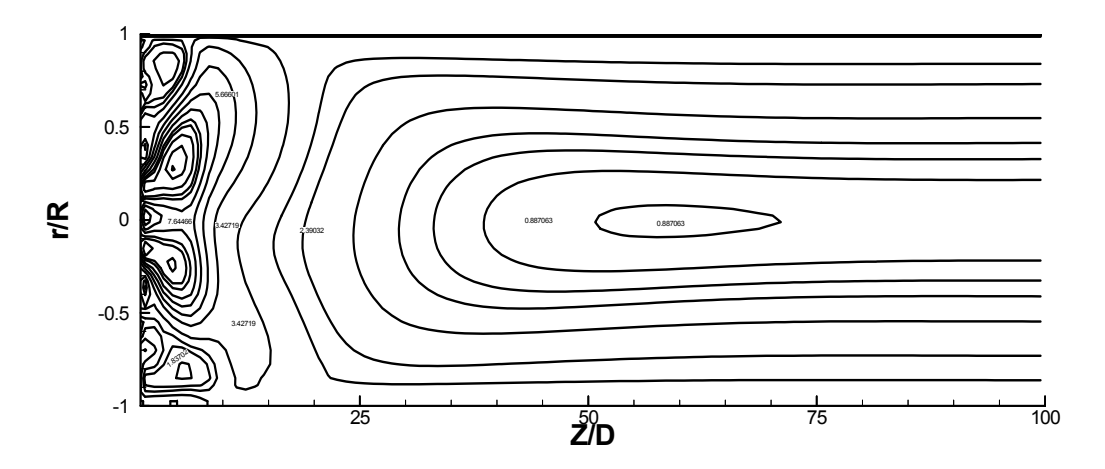
a – Profile de la vitesse  $U/U_{m}$ 



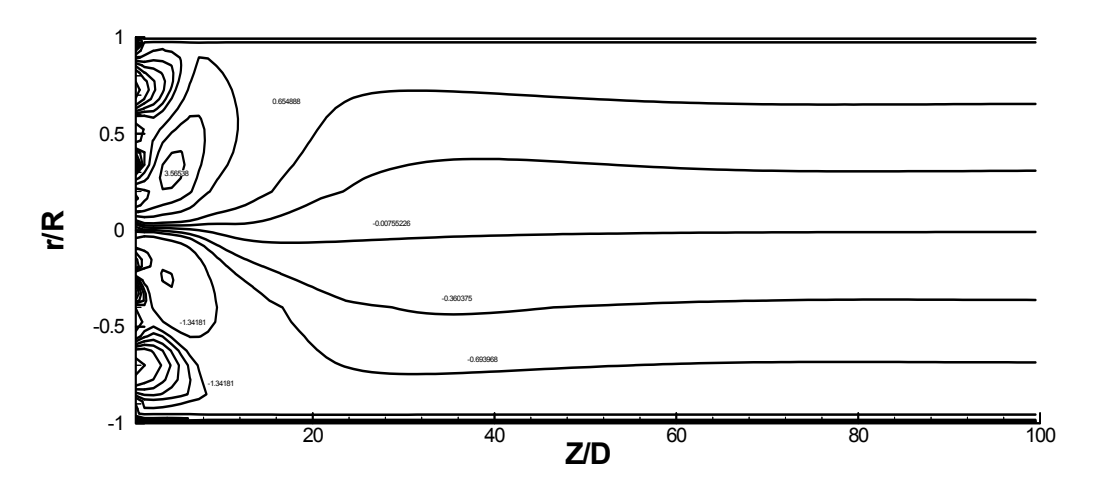
 $b-Contours\ de\ la\ vitesse\ U/U_m$ 

Figure 5.16 – Prévisions du développement du champs moyen de l'écoulement après le conditionneur d'écoulement Laws

67

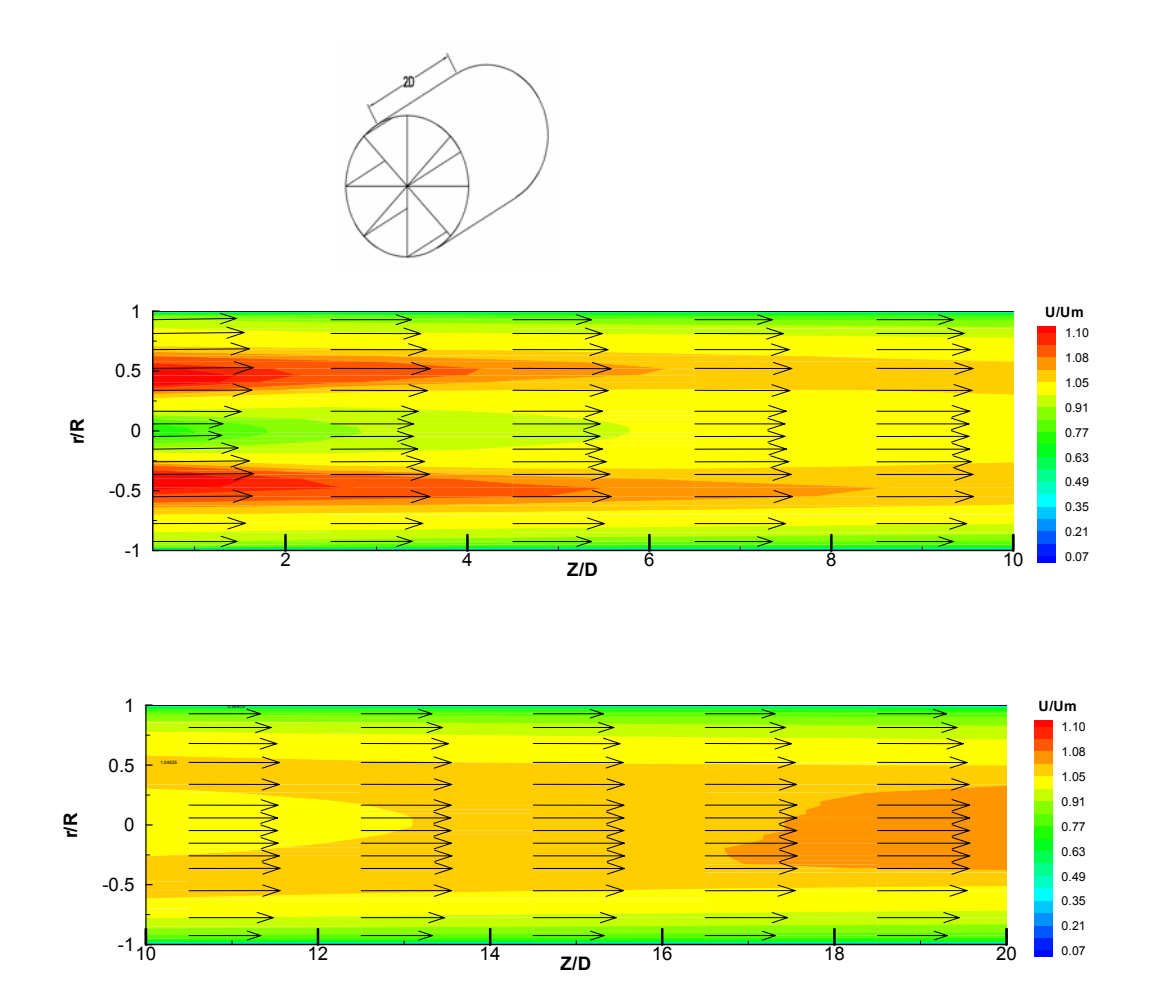


a – Contours de l'énergie de la turbulence  $K/{U_{\tau}}^2$ 

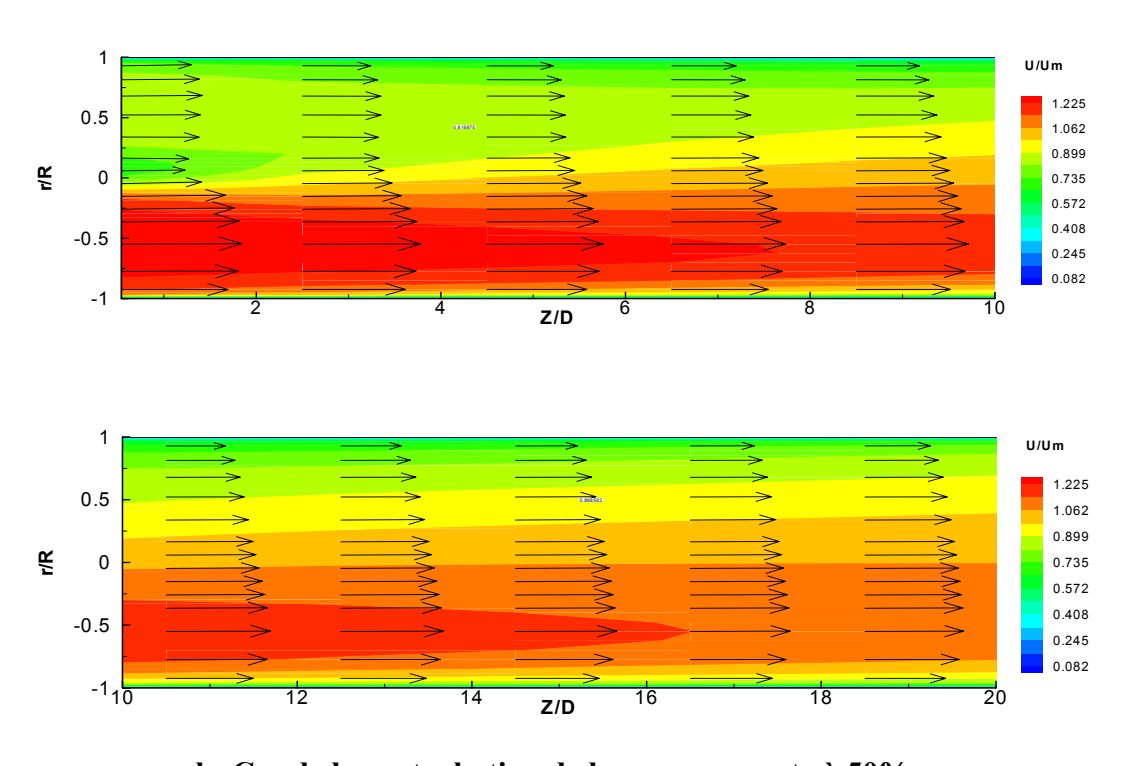


b-Contours de la contrainte de Reynolds -uv/U  $_{\tau}^{\ 2}$ 

Figure 5.17 – Prévisions du développement du champs turbulent de l'écoulement après le conditionneur d'écoulement Laws



a - Cas de la perturbation de la vanne ouverte à 100%



b- Cas de la perturbation de la vanne ouverte à 50%

Figure 5.18 - Champs d'écoulement moyen après le conditionneur d'écoulement Etoile

69

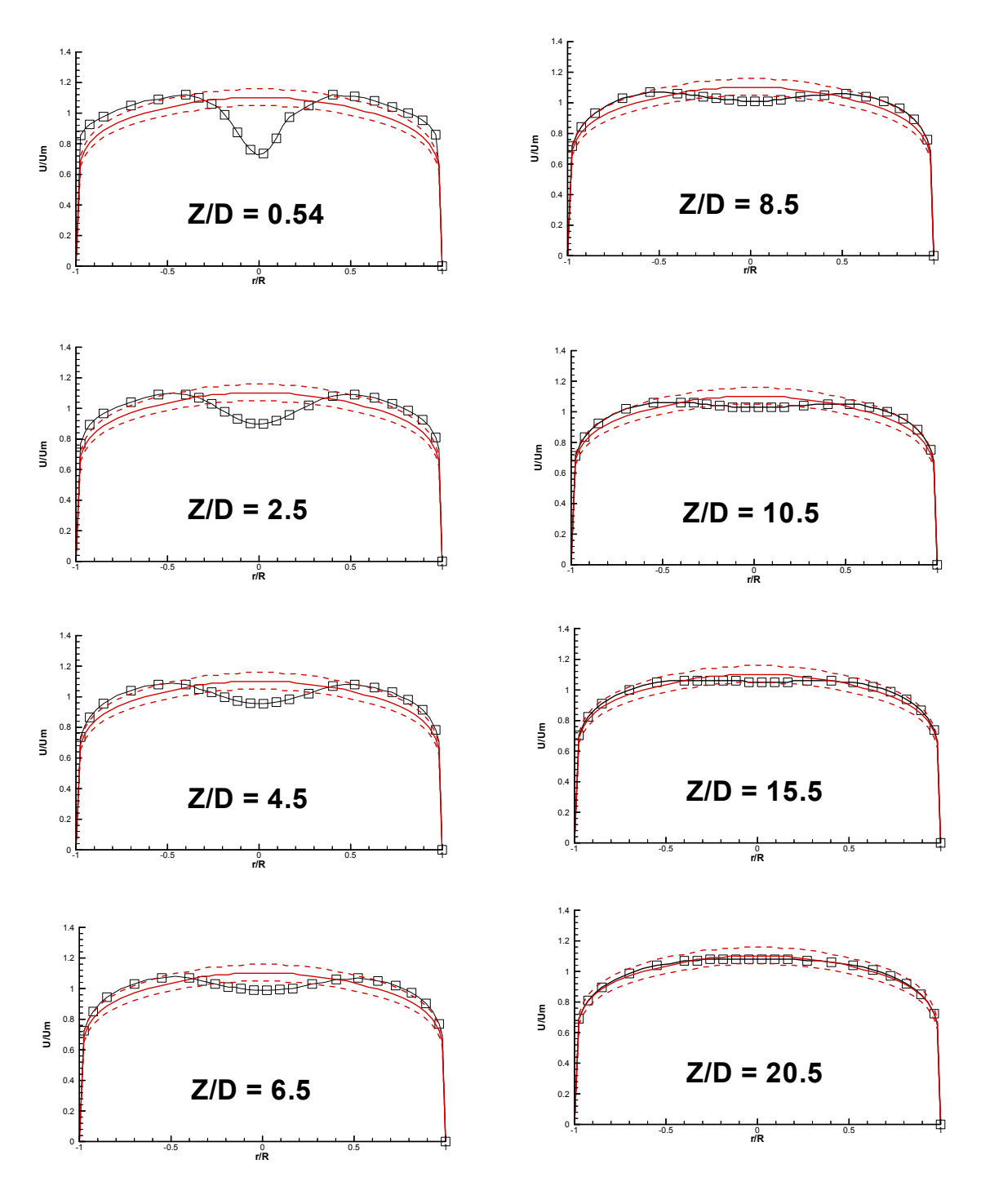


Figure 5.19 - Profiles de la vitesse moyenne U/Um à des stations axiales Z/D après le conditionneur d'écoulement Etoile comparés au profile de l'écoulement établi ( $\pm 5\%$  selon les normes ISO5167) - Cas de la vanne ouverte à 100%

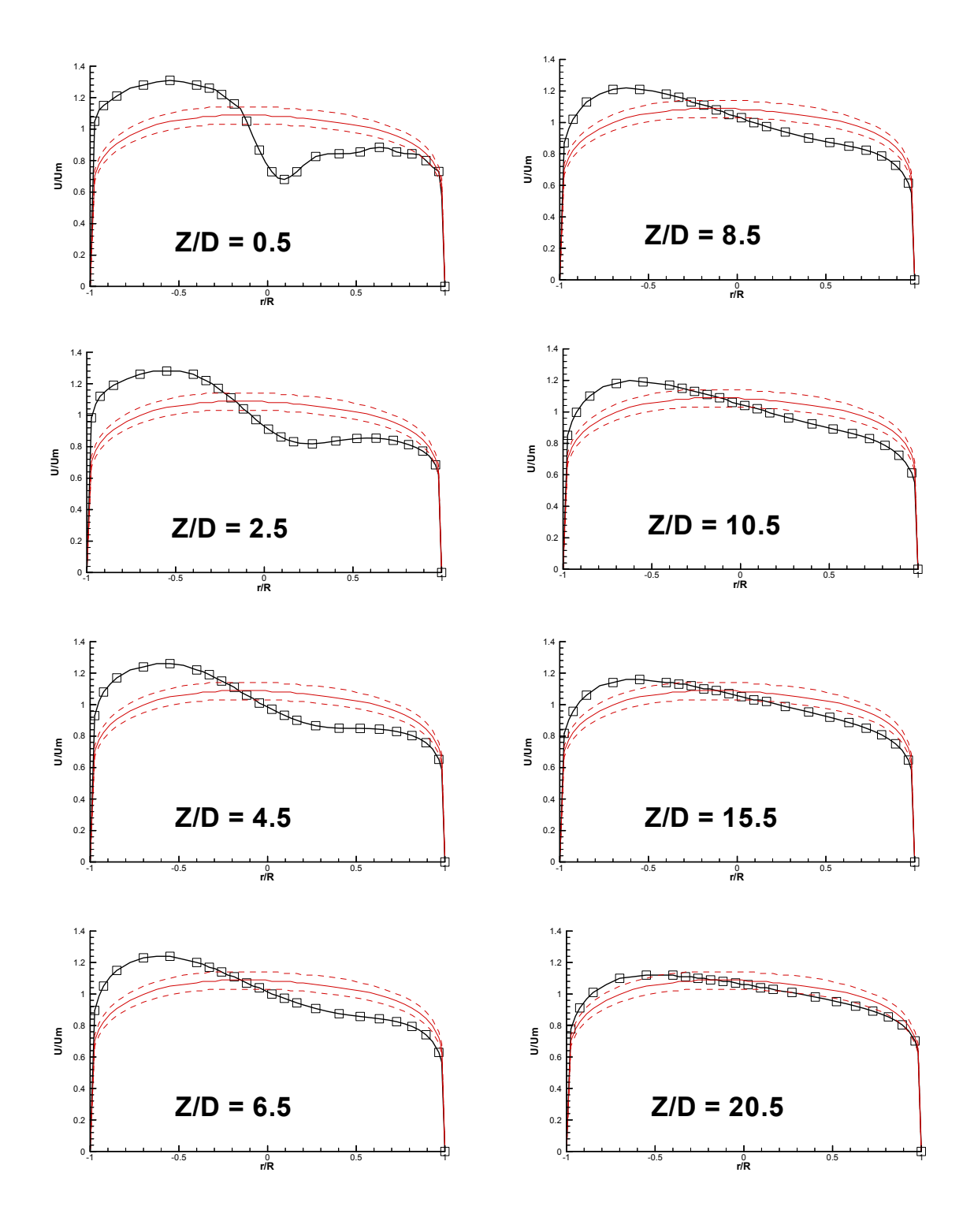


Figure 5.20 - Profiles de la vitesse moyenne U/Um à des stations axiales Z/D après le conditionneur d'écoulement Etoile comparés au profile de l'écoulement établi (±5% selon les normes ISO5167) - Cas de la vanne ouverte à 50%



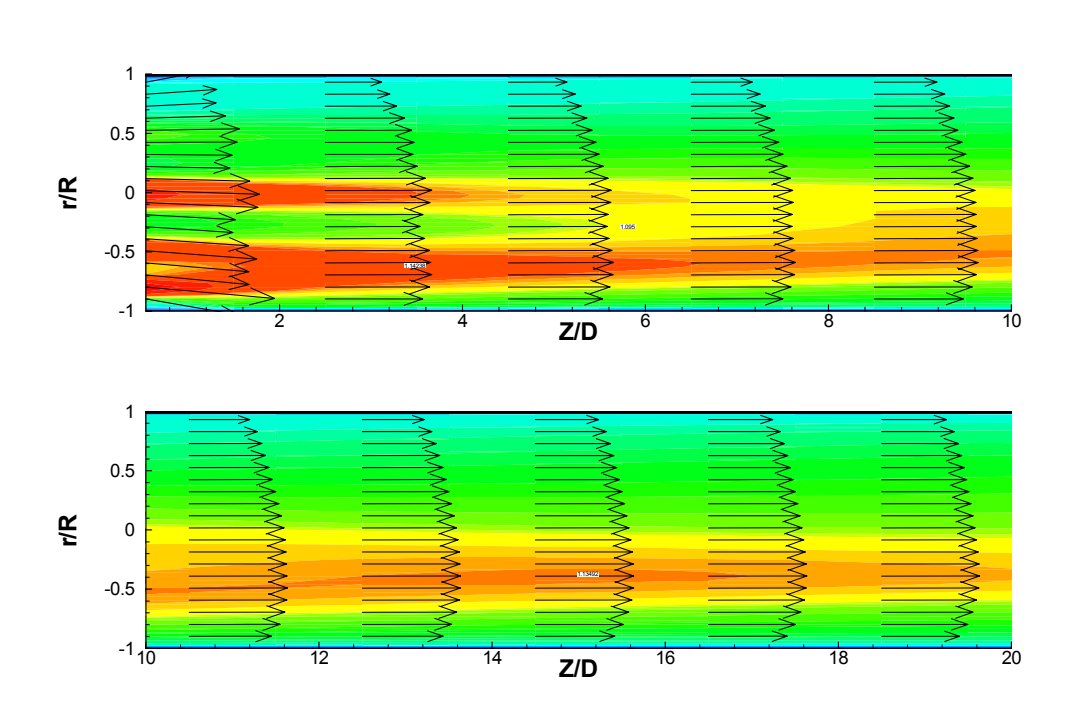


Figure 5.21 - Champs d'écoulement moyen après le conditionneur d'écoulement à faisceaux de tubes

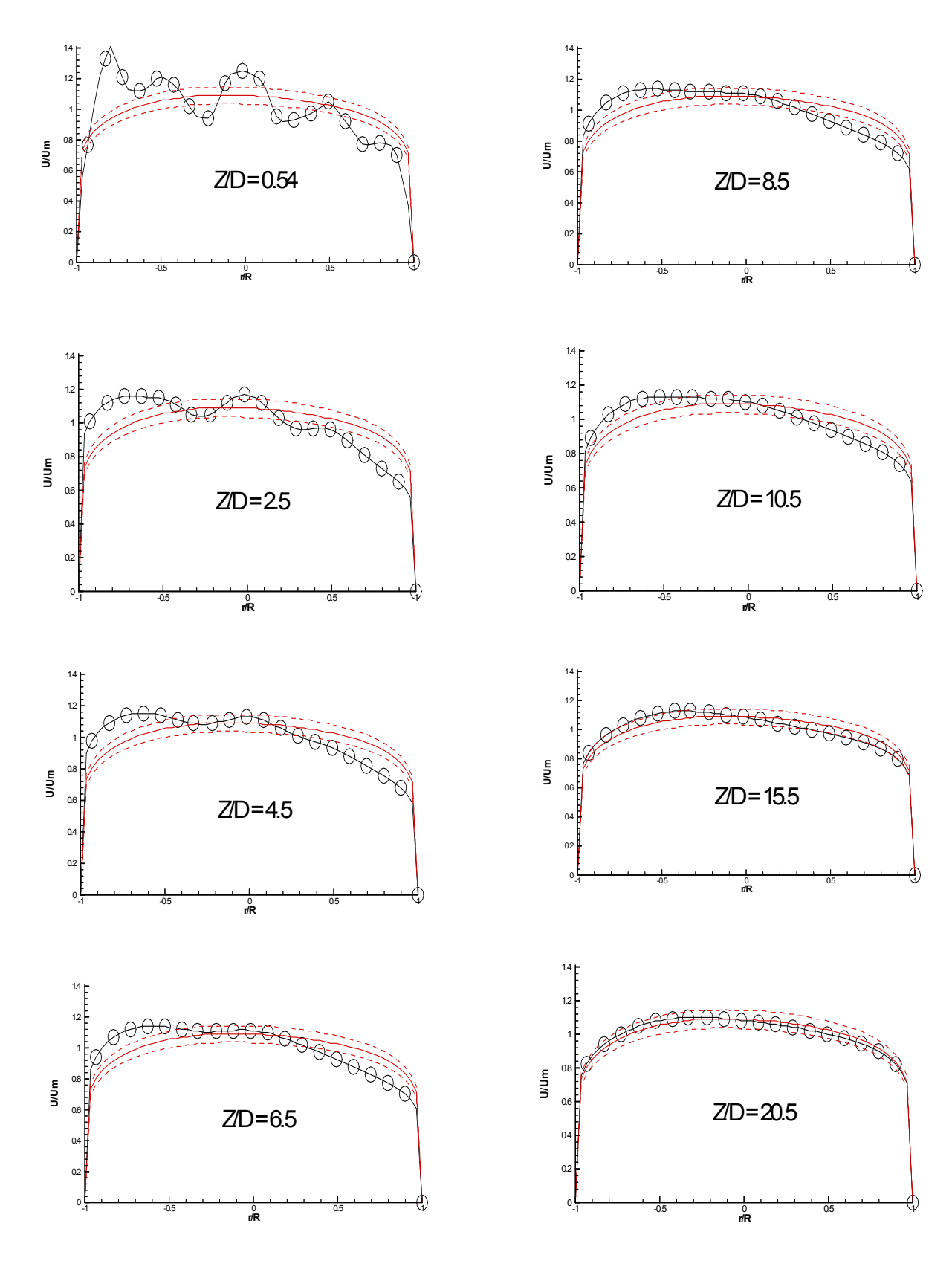
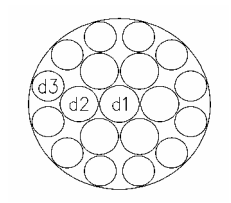


Figure 5.22 - Profiles de la vitesse moyenne  $U/U_m$  prédis à des stations axiales Z/D après le conditionneur d'écoulement à faisceaux de tubes comparés au profile de l'écoulement établi ( $\pm 5\%$  selon les normes ISO5167)



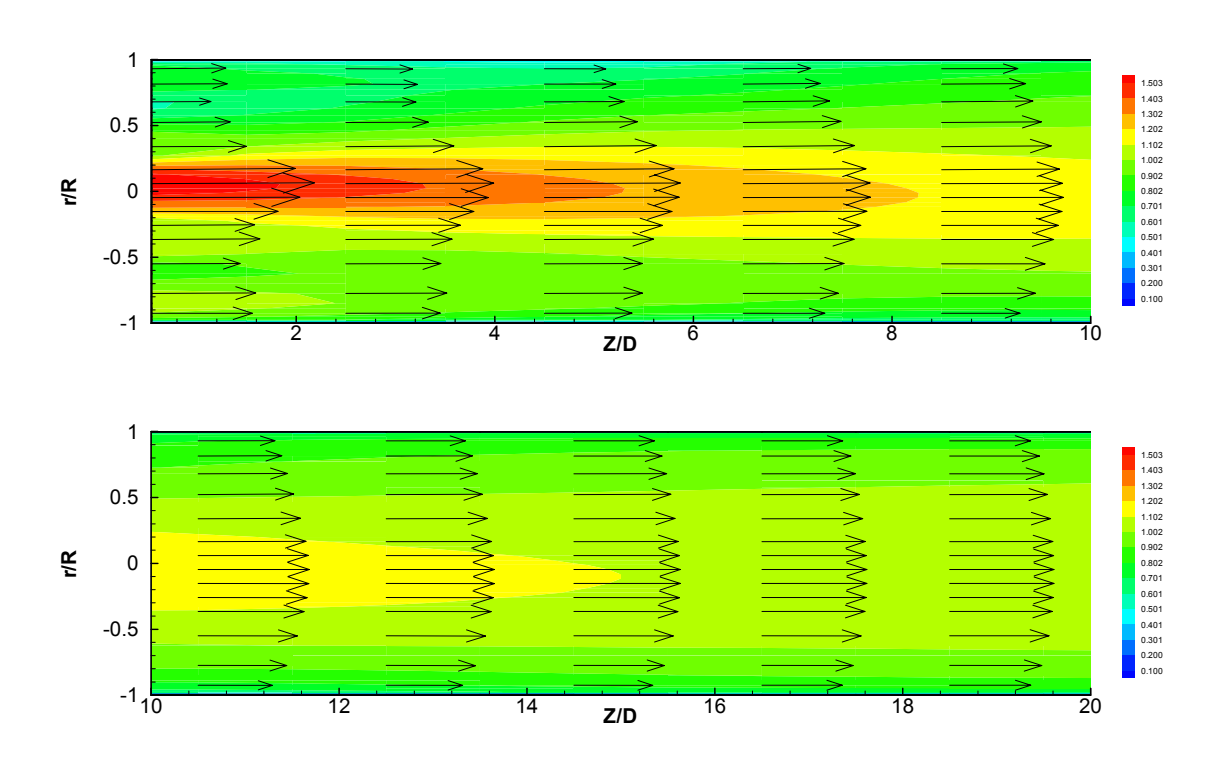


Figure 5.23 - Champs d'écoulement moyen après le conditionneur d'écoulement hybride Laws

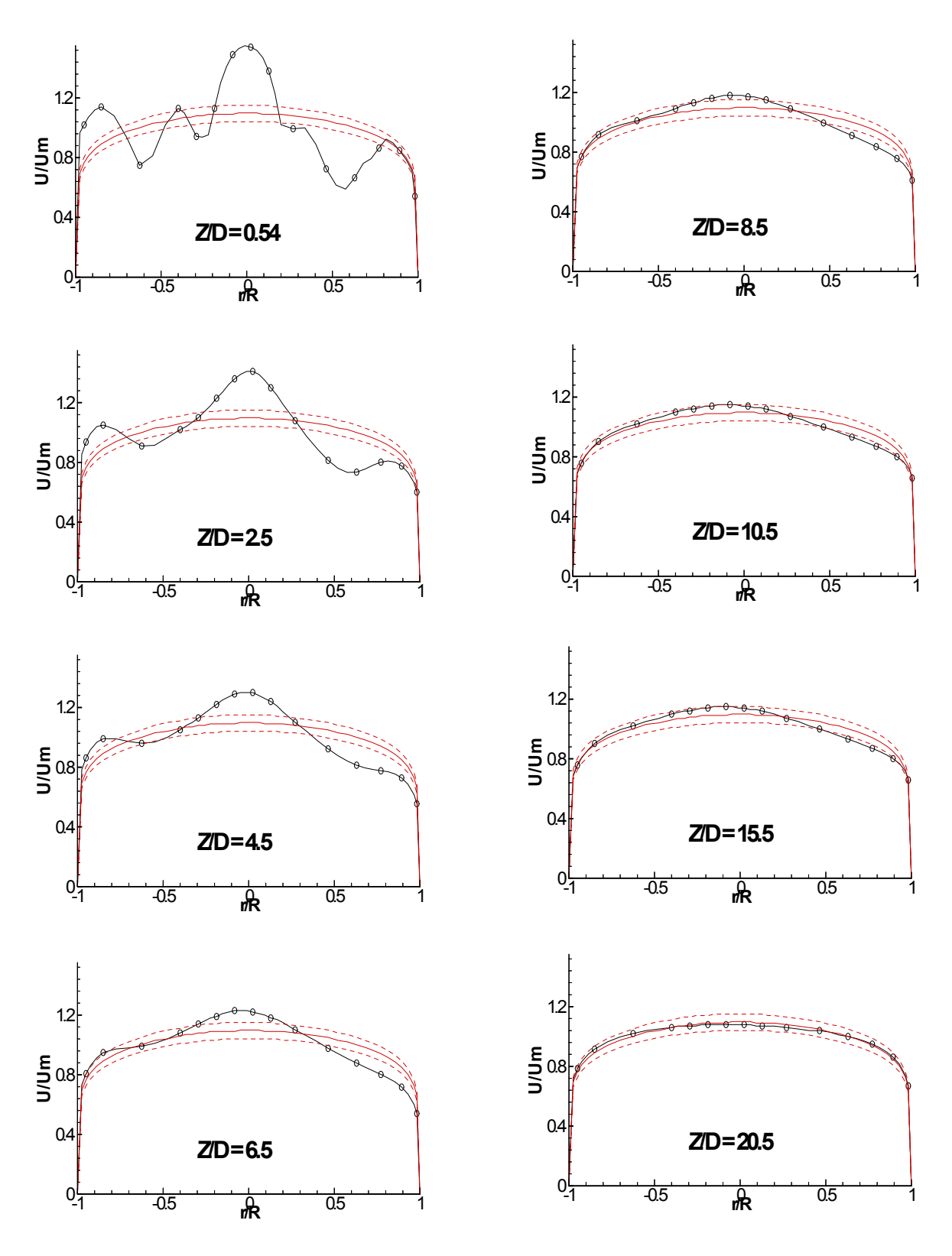


Figure 5.24 - Profiles de la vitesse moyenne  $U/U_m$  prédis à des stations axiales Z/D après le conditionneur d'écoulement plat perforé Laws comparés au profile de l'écoulement établi ( $\pm 5\%$  selon les normes ISO5167)